

ESTUDO POR ELEMENTOS FINITOS DO PROVETE *END LOADED SPLIT* (ELS), PARA A DETERMINAÇÃO EXPERIMENTAL DE G_{IIc} NA ESPÉCIE DE MADEIRA *Pinus pinaster* Ait.

M. A. L. Silva¹, M. F. S. F. de Moura², J. J. L. Morais¹, A. B. de Morais³

¹ CETAV/UTAD, Departamento de Engenharia, Vila Real, e-mail: mlsilva@utad.pt, jmorais@utad.pt.

² DEMEGI, FEUP, Rua Dr. Roberto Frias, 4200-465 Porto, e-mail: mfmoura@fe.up.pt.

³ Universidade de Aveiro, Departamento de Engenharia Mecânica, Aveiro. email: abm@mec.ua.pt

RESUMO

No presente trabalho foi feita uma análise por elementos finitos do ensaio ELS (*End Loaded Split*), com o objectivo de validar o seu uso para a caracterização do comportamento à fractura em modo II da madeira de *Pinus pinaster*, no sistema de propagação de fendas RL. Com o intuito de averiguar a influência dos modos de propagação I e III na medição da taxa crítica de libertação de energia em modo II (G_{IIc}), foi construído um modelo de elementos finitos tridimensional, o qual inclui elementos de interface e um modelo de dano progressivo baseado no uso indirecto da Mecânica da Fractura. As metodologias usadas para a identificação de G_{IIc} a partir dos resultados numéricos do ensaio ENF foram a Teoria das Vigas Elementar (TVE), o Método de Calibração de Flexibilidade (MCF), a Teoria de Vigas Corrigida (TVC) e o Método de Calibração da Flexibilidade baseado na Teoria de Vigas (CFTV). Os resultados obtidos permitem-nos afirmar que o ensaio ELS, juntamente com esta última metodologia de tratamento de dados, é apropriado para a determinação de G_{IIc} da madeira *Pinus pinaster* Ait.

1. INTRODUÇÃO

Vários ensaios têm sido propostos para estudar a propagação de fendas em modo II (Tanaka *et al.*, 1995; Blackman *et al.*, 2005; Qiao *et al.*, 2003; Schuecker *et al.*, 2000). Entre eles é de salientar os ensaios *End Notched Flexure* (ENF), *Tapered End Notched Flexure* (TENF), *End Loaded Split* (ELS) e *Four Point End Notched Flexure* (4ENF).

O ensaio ENF foi introduzido pela primeira vez por Barret e Foschi (1977), para determinar a taxa crítica de libertação de energia em modo II (G_{IIc}) da espécie de madeira *Tsuga heterophylla*. O ensaio ENF é porventura o ensaio mais utilizado para a determinação G_{IIc} , em materiais

ortotrópicos e em ligações coladas.

Russell e Street (1982) desenvolveram uma metodologia de tratamento de resultados para o ensaio ENF baseada na Teoria de Vigas Elementar, desprezando a deformação devida ao esforço de corte e a singularidade existente na extremidade da fenda.

Yoshihara e Ohta (2000) examinaram a validade do ensaio ENF para a madeira, tendo recomendado o uso do método *Crack Shear Displacement* (CSD) para a determinação de G_{IIc} .

Silva *et al.* (2004) avaliaram a aplicabilidade do ensaio ENF para a determinação de G_{IIc} referente ao sistema

de propagação de fendas RL da madeira de *Pinus pinaster*. Por sua vez, Silva *et al.* (2005) estudaram a validade do Método de Calibração da Flexibilidade (MCF) e da Teoria das Vigas Corrigida (TVC) para a identificação de G_{IIc} dessa espécie de madeira. Com base nesse estudo, os autores concluíram que o MCF é adequado para a determinação de G_{IIc} , enquanto que a TVC subestima o valor de G_{IIc} . Este facto deve-se ao desenvolvimento de uma Zona de Processo de Fractura (ZPF) na extremidade da fenda. Os autores analisaram também a influência da tensão de corte e do atrito na curva $P-\delta$ e na curva de resistência, tendo concluído que a influência desses parâmetros é desprezável.

Carlsson *et al.* (1986) concluíram que para evitar uma propagação instável da fenda inicial (a_0), durante a execução de um ensaio ENF, era necessário que a_0 fosse maior ou igual a 70% de metade do vão do provete.

A principal dificuldade com ensaio ENF tem a ver com medição do comprimento de fenda (a). Para contornar este obstáculo, Edde *et al.* (1995) e Qiao *et al.* (2003) propuseram o ensaio TENF. Este ensaio é caracterizado por induzir uma propagação de fenda estável para qualquer valor de a_0 . Contudo, o atrito entre as faces da fenda tem um efeito do atrito não desprezável na medição de G_{IIc} (Davies *et al.*, 1999).

Yoshihara (2004) usou o ensaio 4ENF para obter a taxa crítica de libertação de energia em modo II da madeira. Para isso, usou um provete com uma secção transversal em forma de I, a fim de evitar roturas indesejáveis.

Schuecker *et al.* (2000) verificaram que o valor de G_{IIc} , obtido através do ensaio 4ENF é superior ao obtido através do ensaio ENF. Este fenómeno deve-se à influência que o atrito tem nos resultados do ensaio 4ENF (Schuecker *et al.*, 2000).

Wang *et al.* (1992) mostraram que a propagação de fenda no ensaio ELS é estável se o comprimento da fenda inicial for superior a 65 % do comprimento do provete. O ensaio ELS apresenta porém alguns problemas de execução experimental. Um deles reside na

dificuldade em garantir o encastramento perfeito do provete. O outro problema reside na medição precisa do comprimento de fenda durante a propagação (Corleto *et al.*, 1995).

Neste trabalho apresenta-se um estudo por elementos finitos sobre a aplicação do ensaio ELS à madeira de *Pinus pinaster*. O sistema de propagação de fendas analisado foi o sistema RL. Para averiguar a influência dos modos de propagação I e III na medição da taxa crítica de libertação de energia em modo II (G_{IIc}), foi elaborado um modelo tridimensional de elementos finitos, onde foram incluídos elementos finitos de interface e um modelo de dano progressivo baseado no uso indirecto da Mecânica da Fractura. Os perfis de distribuição das taxas de libertação de energia G_i ($i = I, II$ ou III), ao longo da extremidade da fenda foram obtidos recorrendo a uma adaptação do Método de Fecho de Fenda Virtual (*Virtual Crack Closure Technique*, VCCT). O valor de G_{IIc} foi identificado a partir dos resultados $P-\delta-a$ fornecidos pela simulação numérica, usando as seguintes metodologias de tratamento de resultados: Teoria das Vigas Elementar (TVE), Método de Calibração de Flexibilidade (MCF), Teoria de Vigas Corrigida (TVC) e Método de Calibração da Flexibilidade baseado na Teoria de Vigas (CFTV).

2. ANÁLISE

2.1. Modelo 3D

As dimensões usadas para o provete ELS são: $2h=20$ mm, $L=235$ mm, $B=20$ mm e $a_0=0.65L$ (figura 1). As propriedades mecânicas da madeira de *Pinus pinaster* usadas nas análises numéricas encontram-se na tabela 1.

Foi construído um modelo de elementos finitos tridimensional (3D), recorrendo ao *software* comercial ABAQUS® (figura 2). Este modelo é constituído por 35250 elementos tridimensionais de 8 nós e por 4890 elementos finitos de interface de 8 nós, previamente desenvolvidos (de Moura *et al.*, 1997; Gonçalves *et al.*, 2000).

Entre as faces superior e inferior da pré-fenda foram impostas condições de

contacto (sem atrito), com o objectivo de evitar a interpenetração dos braços superior e inferior do provete.

Os elementos de interface foram colocados a meio da altura do provete, a partir da extremidade da fenda inicial (ver detalhe 1 da figura 2). O deslocamento total ($\delta_{total}=10$ mm) foi aplicado por um cilindro de diâmetro igual a 6 mm (actuador, na figura 2), de uma forma incremental, considerando um valor de incremento muito pequeno (0,01% de δ_{total}), por forma a garantir uma propagação estável. O actuador foi simulado como um corpo rígido (detalhe 2 da figura 2).

A análise por elementos finitos foi efectuada considerando um comportamento não linear geométrico.

2.2. Modelo 2D

Um dos objectivos deste estudo consiste em validar o uso de um modelo bidimensional (2D) de elementos finitos do ensaio ELS. Essa validação basear-se-á na comparação entre as curvas $G_{IIc}=f(a)$ e $P-\square$ obtidas a partir dos modelos 2D e 3D.

Assim, foi também elaborado um modelo de elementos finitos 2D, recorrendo ao código comercial ABAQUS®. Este modelo é composto por 4820 elementos sólidos bidimensionais de oito nós e por 250 elementos finitos de interface (figura 3). O detalhe 1 representa a região do provete com pré-fenda, onde foram impostas condições de contacto entre o braço superior e inferior, com o objectivo de evitar a sua interpenetração. Os elementos finitos de interface foram colocados a meio da altura do provete, na região contígua à pré-fenda (representados por cruces no detalhe 2, da figura 3). Neste modelo numérico foram igualmente consideradas superfícies de contacto entre o provete e o actuador. O actuador foi modelado como um corpo indeformável.

A análise por elementos finitos 2D foi efectuada para as mesmas condições de deslocamento total (\square_{total}) e tamanho de incremento que foram empregues na análise tridimensional (3D). A análise foi conduzida considerando um estado plano de tensão um comportamento geométrico não linear.

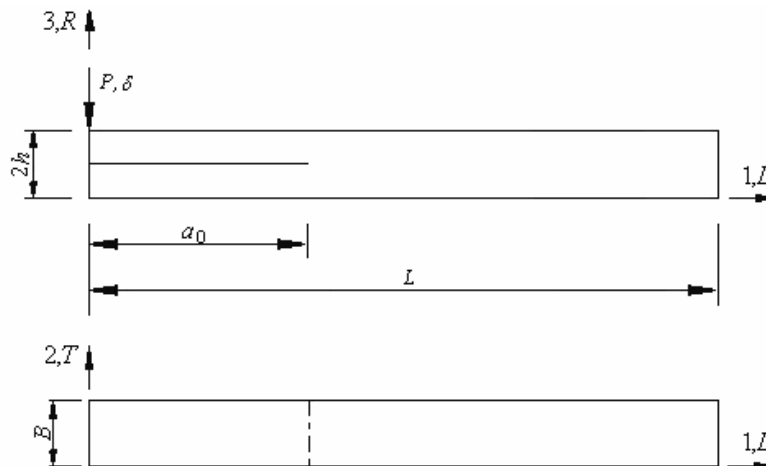


Fig 1. Geometria do provete ELS.

Tabela 1. Propriedades mecânicas da espécie de madeira *Pinus pinaster* (Xavier, 2003; Reiterer *et al.*, 2002).

E_L (GPa)	E_R (GPa)	E_T (GPa)	ν_{LR}	ν_{TL}	ν_{RT}	$G_{LR(REF.)}$ (GPa)	$G_{LT(REF.)}$ (GPa)	$G_{RT(REF.)}$ (GPa)
15,13	1,91	1,01	0,47	0,51	0,59	1,12	1,04	0,17
σ_L^{ult} (MPa)	σ_R^{ult} (MPa)	σ_T^{ult} (MPa)	τ_{LR}^{ult} (MPa)	τ_{LT}^{ult} (MPa)		$G_{Ic(REF.)}$ (N/mm)	$G_{IIc(REF.)}$ (N/mm)	
97,46	7,93	4,20	16,0	16,0		0,24	0,63	

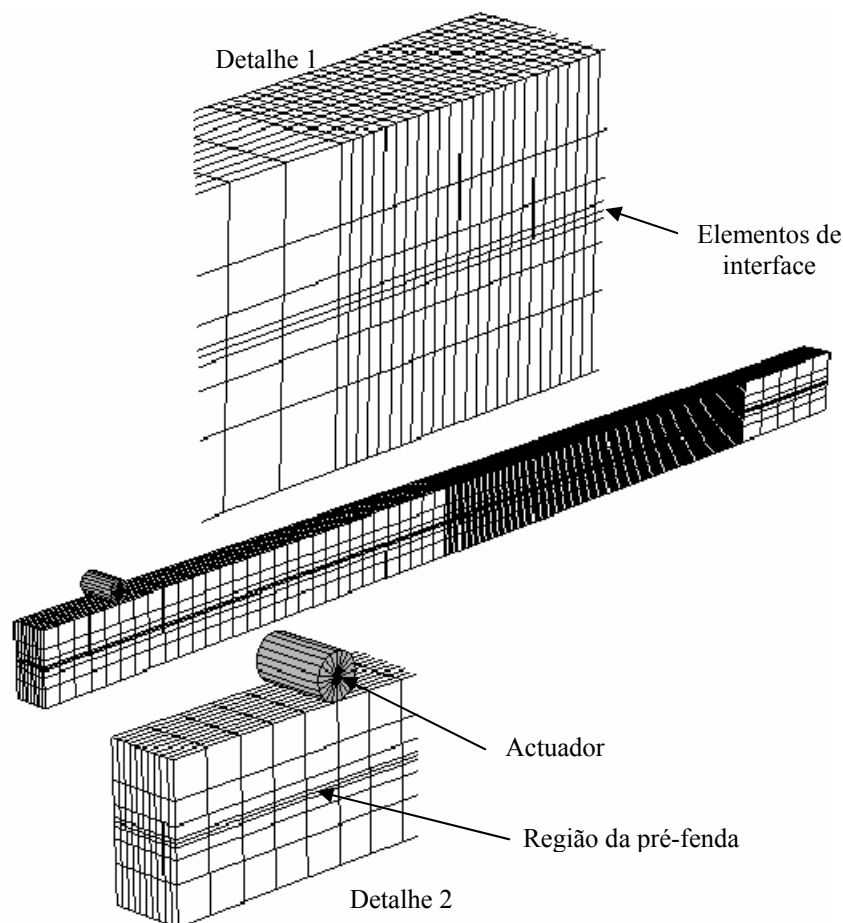


Fig 2. Modelo tridimensional do ensaio ELS.

2.2. Modelo 2D

Um dos objectivos deste estudo consiste em validar o uso de um modelo bidimensional (2D) de elementos finitos do ensaio ELS. Essa validação basear-se-á na comparação entre as curvas $G_{IIc}=f(a)$ e $P-\delta$ obtidas a partir dos modelos 2D e 3D.

Assim, foi também elaborado um modelo de elementos finitos 2D, recorrendo ao código comercial ABAQUS[®]. Este modelo é composto por 4820 elementos sólidos bidimensionais de oito nós e por 250 elementos finitos de interface (figura 3). O detalhe 1 representa a região do provete com pré-fenda, onde foram impostas condições de contacto entre o braço superior e inferior, com o objectivo de evitar a sua inter penetração. Os elementos finitos de interface foram colocados a meio da altura do provete, na região contígua à pré-fenda (representados por cruces no detalhe 2, da figura 3). Neste

modelo numérico foram igualmente consideradas superfícies de contacto entre o provete e o actuador. O actuador foi modelado como um corpo indeformável.

A análise por elementos finitos 2D foi efectuada para as mesmas condições de deslocamento total (\square_{total}) e tamanho de incremento que foram empregues na análise tridimensional (3D). A análise foi conduzida considerando um estado plano de tensão um comportamento geométrico não linear.

3. DISTRIBUIÇÃO DAS TAXAS DE LIBERTAÇÃO DE ENERGIA

A distribuição das componentes da taxa de libertação de energia na frente da fenda, G_i ($i=I, II, III$), foi obtida recorrendo a uma adaptação do método VCCT. Em vez das forças nodais foram usadas as tensões nodais dos elementos finitos de interface ($\sigma_{j\beta}$, $\tau_{j\beta 1}$ e $\tau_{j\beta 2}$), para obter as componentes de G :

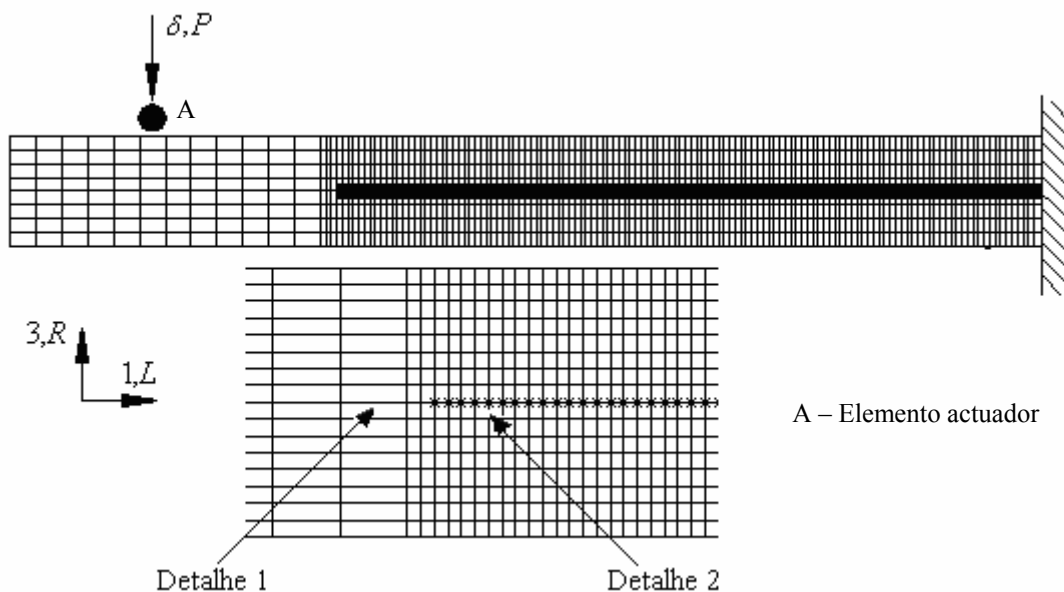


Fig 3. Malha de elementos bidimensional do ensaio ELS.

$$\begin{aligned}
 G_I &= \frac{\sigma_{j3}(w_{kt} - w_{kb})}{2} \\
 G_{II} &= \frac{\tau_{j31}(u_{kt} - u_{kb})}{2} \\
 G_{III} &= \frac{\tau_{j32}(v_{kt} - v_{kb})}{2}
 \end{aligned} \quad (1)$$

onde os deslocamentos nodais das faces superior e inferior são representados, respectivamente, por u_{kt} , v_{kt} e w_{kt} e por u_{kb} , v_{kb} and w_{kb} (figura 4). A presença das taxas de libertação de energia em modo I (G_I) e em modo III (G_{III}) ao longo da espessura do provete (B) é desprezável. Assim, a distribuição de G_{II} em toda a largura (B) do provete ELS é praticamente uniforme, com um valor médio superior a 99,5 % do valor de G_{total} (figura 5). Com base neste estudo, pode-se afirmar que a taxa de libertação de energia na frente da fenda ocorre em quase puro modo II, para a geometria do provete considerada.

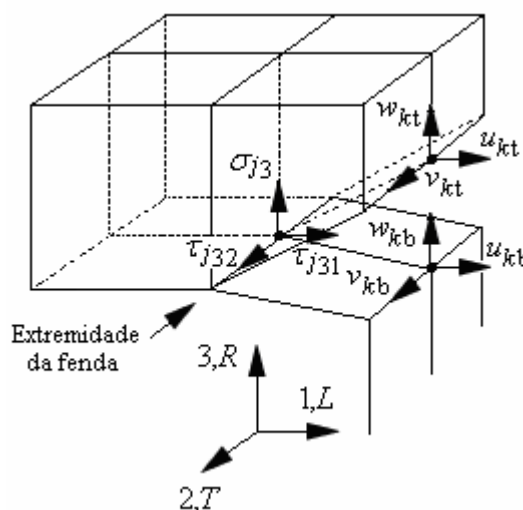


Fig 4. Nós locais usado no método VCCT.

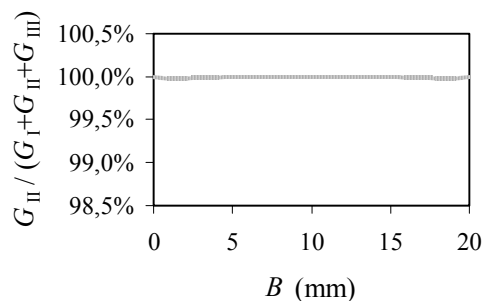


Fig 5. Distribuição da taxa de libertação de energia em modo II (G_{II}), ao longo da espessura do provete.

4. MÉTODOS DE TRATAMENTO DOS RESULTADOS

4.1. Teoria de Vigas Elementar

A taxa crítica de libertação de energia em modo II é determinada recorrendo à equação de Irwin-Kies (Anderson, 1991),

$$G_{IIc} = \frac{P^2}{2B} \frac{dC}{da} \quad (2)$$

A flexibilidade (C) do provete ELS (figura 1), desprezando os efeitos do esforço transversal, é dada pela seguinte equação

$$C = \frac{\delta}{P} = \frac{3a^3 + L^3}{2Bh^3 E_f} \quad (3)$$

onde E_f , P e δ representam o módulo de flexão, a força aplicada e o deslocamento do ponto de aplicação da força, respectivamente. Substituindo a equação (3) na equação (2), obtém-se a seguinte expressão para G_{IIc} ,

$$G_{IIc} = \frac{9P^2 a^2}{4B^2 h^3 E_f} \quad (4)$$

O efeito dum eventual comportamento geométrico não linear do provete ELS pode ser contemplado corrigindo o segundo membro da equação anterior com um factor multiplicativo F , dado por (Davies *et al.*, 1999)

$$F = 1 - \theta_1 \left(\frac{\delta}{L} \right)^2 - \theta_2 \left(\frac{\delta l_1}{L^2} \right) \quad (5)$$

onde l_1 representa a distância entre o centro do actuador e a linha média do braço superior do provete. Os valores de θ_1 e θ_2 são determinados pelas seguintes equações,

$$\theta_1 = \frac{3}{20} \frac{(15 + 50(a/L)^2 + 63(a/L)^4)}{[1 + 3(a/L)^3]^2} \quad (6)$$

e

$$\theta_2 = -3(L/a) \frac{1 + 3(a/L)^2}{1 + 3(a/L)^3} \quad (7)$$

4.2. Método de Calibração da Flexibilidade

O Método de Calibração da Flexibilidade baseia-se na equação de Irwin-Kies (2) e no seguinte ajuste polinomial dos pontos experimentais C - a

$$C = C_0 + m a^3 \quad (8)$$

Substituindo a equação (8) na equação (2), a taxa crítica de libertação de energia em modo II será então dada por

$$G_{IIc} = \frac{3 m P^2 a^2}{2B} \quad (9)$$

4.3. Teoria de Vigas Corrigida

De acordo com a TVC, proposta por Wang e Williams (1992), G_{IIc} é determinada através da seguinte equação,

$$G_{IIc} = \frac{9P^2 (a + \Delta_{II})^2}{4B^2 h^3 E_f} F \quad (10)$$

onde Δ_{II} é um factor de correcção para o comprimento de fenda que contempla o efeito do esforço transversal. Segundo Wang e Williams (1992), Δ_{II} é dado por,

$$\Delta_{II} = 0.49 \Delta_I \quad (11)$$

onde

$$\Delta_I = h \sqrt{\frac{E_L}{11G_{13}} \left[3 - 2 \left(\frac{\Gamma}{1 + \Gamma} \right)^2 \right]} \quad (12)$$

e

$$\Gamma = 1.18 \frac{\sqrt{E_1 E_2}}{G_{13}} \quad (13)$$

4.4. Método de Calibração da Flexibilidade baseado na Teoria de Vigas

A energia total de deformação do provete ELS, devida ao momento flector e ao esforço transversal, é dada por:

$$U = \int_0^L \frac{M_f^2}{2E_f I} dx + \int_0^L \int_{-h}^h \frac{\tau^2}{2G_{13}} b dy dx \quad (14)$$

sendo,

$$\tau = \frac{3 V_i}{2 A_i} \left(1 - \frac{y^2}{c_i^2} \right) \quad (15)$$

onde A_i , c_i e V_i representam,

respectivamente, a área da secção transversal, metade da altura da viga e o esforço transversal do segmento i ($0 \leq x \leq a$, $a \leq x \leq L$). A partir das equações anteriores e do teorema de Castigliano, obtém-se a seguinte expressão para o deslocamento do ponto de aplicação da força aplicada (figura 1),

$$\delta = \frac{dU}{dP} = \frac{P(3a^3 + 2L^3)}{2E_f Bh^3} + \frac{3PL}{5BhG_{13}} \quad (16)$$

O módulo à flexão E_f pode ser obtido a partir da equação (16), utilizando os valores da flexibilidade inicial (C_0) e do comprimento de fenda inicial (a_0).

$$E_f = \frac{3a_0^3 + L^3}{2Bh^3} \left(C_0 - \frac{3L}{5BhG_{13}} \right)^{-1} \quad (17)$$

O comprimento de fenda (a) durante a propagação pode assim ser determinado, a partir das equações (16) e (17).

$$a = \left[\frac{C_{\text{corr}}}{C_{0\text{corr}}} a_0^3 + \frac{L^3}{3} \left(\frac{C_{\text{corr}}}{C_{0\text{corr}}} - 1 \right) \right]^{1/3} \quad (18)$$

onde C_{corr} é dado por,

$$C_{\text{corr}} = C - \frac{3L}{5BhG_{13}} \quad (19)$$

Substituindo a equação (18) na equação (4) obtém-se a seguinte expressão para G_{IIc} ,

$$G_{\text{IIc}} = \frac{9P^2}{4B^2h^3E_f} \left[\frac{C_{\text{corr}}}{C_{0\text{corr}}} a_0^3 + \frac{L^3}{3} \left(\frac{C_{\text{corr}}}{C_{0\text{corr}}} - 1 \right) \right]^{2/3} F \quad (20)$$

que não depende explicitamente de a . Contudo, depende de E_f , cuja determinação requer o conhecimento prévio de $G_{13}=G_{\text{LR}}$, (ver equação 17). No entanto, no intervalo $0,5G_{\text{LR(REF.)}} < G_{\text{LR}} < 1,5G_{\text{LR(REF.)}}$, em torno do valor de referência ($G_{\text{LR(REF.)}}$) da tabela 1, o módulo de corte não influencia de forma significativa G_{IIc} (figura 6). Assim, não é necessário conhecer o valor preciso do módulo de corte (G_{LR}) de cada provete, podendo ser usado um valor típico desta propriedade.

5. VALIDAÇÃO DA ANÁLISE 2D

Pretende-se agora validar o uso de uma análise bidimensional por elementos finitos, para determinar a taxa crítica de libertação de energia em modo II (G_{IIc}). Durante a fase de propagação observou-se que o valor do comprimento da fenda (a) medido no bordo do provete é igual ao valor medido no centro ($a_{\text{bordo}} = a_{\text{centro}}$). Por outro lado, verificou-se também que as curvas P - δ , obtidas através das análises 2D e 3D, são praticamente coincidentes (figura 7).

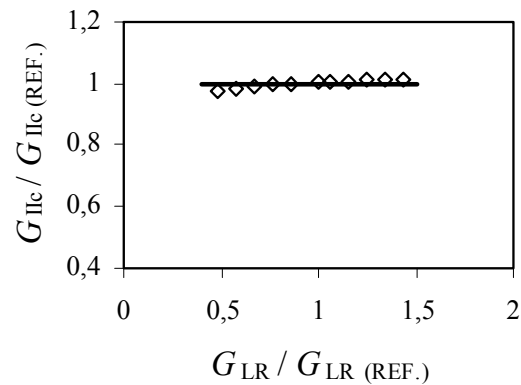


Fig 6. Influência de G_{LR} no valor de G_{IIc} .

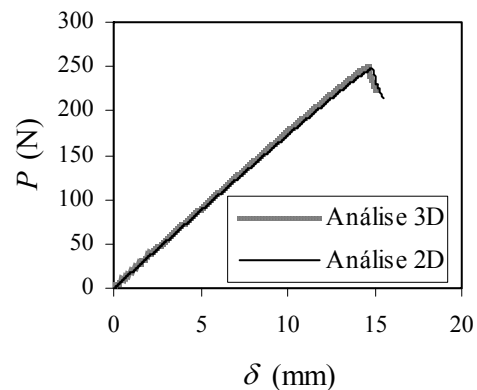


Fig 7. Comportamento da curvas P - δ , considerando os modelos 3D e 2D.

Estes resultados permitem validar o uso de uma análise bidimensional por elementos finitos, em detrimento da tridimensional. O uso de uma análise 2D, traduz-se numa redução assinalável do tempo computacional necessário para cada problema.

6. DETERMINAÇÃO DE G_{IIc}

Os resultados da simulação numérica do ensaio ELS (usando o modelo 2D de elementos finitos) encontram-se nas figuras 8 e 9. O comportamento da curva $P-\delta$ é não linear a partir do ponto 1 (figura 8). Esta não linearidade está relacionada com o desenvolvimento de uma Zona de Processo de Fractura (ZPF) na extremidade da fenda. Uma vez atingida a força máxima, observa-se uma propagação estável da fenda inicial, acompanhada de uma diminuição da força P (figura 9).

A partir dos resultados da simulação (P , δ e a), obteve-se a taxa crítica de libertação de energia em modo II (G_{IIc}), por todos os métodos apresentados na secção 4: Teoria das Vigas Elementar, Teoria de Vigas Corrigida e Método de Calibração da Flexibilidade baseado na Teoria de Vigas. Na figura 10, apresenta-se a evolução da taxa crítica de libertação de energia (G_{IIc}) em função do comprimento da fenda (a), obtida através desses métodos.

Com base na figura 10 e na tabela 2 conclui-se que a TVE subestima o valor de G_{IIc} . Corrigindo o valor do comprimento de fenda através do factor Δ_{II} (TVC), obtém-se uma boa relação entre o valor de G_{IIc} obtido e o valor introduzido no modelo numérico ($G_{IIc(REF)}$).

A aplicação do Método de Calibração da Flexibilidade (equação 9) conduz a uma

boa concordância entre a curva $G_{IIc}=f(a)$ obtida e a de referência. Todavia, a aplicabilidade desta metodologia é limitada pela dificuldade em medir com precisão o valor de a durante a execução de um ensaio experimental.

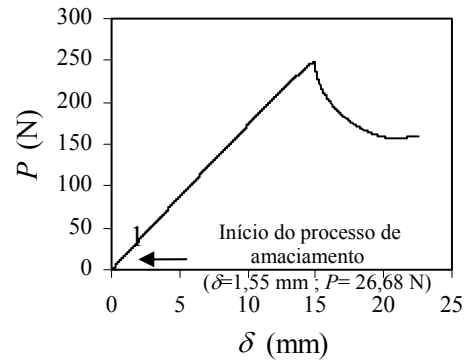


Fig 8. Comportamento da curvas $P-\delta$, para o sistema de propagação de fenda RL.

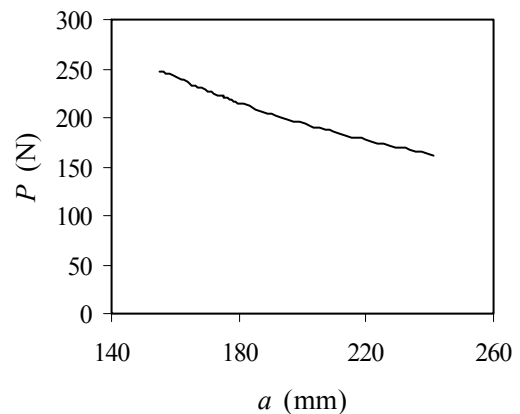


Fig 9. Comportamento da curvas $P-a$, para o sistema de propagação de fenda RL.

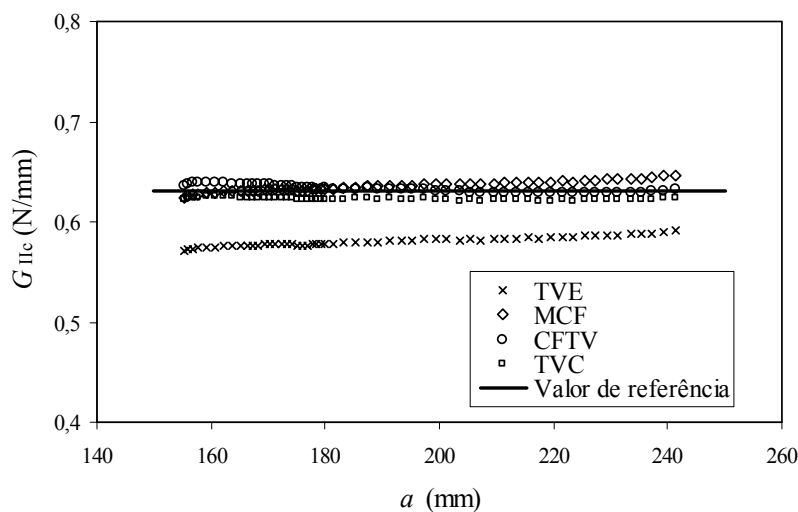


Fig 10. Comportamento da curva $G_{IIc}=f(a)$, recorrendo às metodologias de tratamento de resultados propostas (TVE, MCF, TVC e CFTV).

Com o objectivo de contornar esta dificuldade foi proposta neste trabalho uma nova metodologia de tratamento de resultados (CFTV), que não necessita da medição do valor do comprimento da fenda para obter o valor de G_{IIc} . Este método apresenta uma boa concordância com o valor de $G_{IIc (REF)}$ introduzido no modelo de numérico (figura 10 e tabela 2).

7. CONCLUSÕES

Neste trabalho foi apresentado um estudo por elementos finitos do ensaio ELS (*End Loaded Split*), com o objectivo de determinar a taxa crítica de libertação de energia em modo II (G_{IIc}) da madeira de *Pinus Pinaster* Ait., para o sistema de propagação RL.

Tabela 2. Comparação entre os métodos (TVE, MCF, TVC e CFTV) e o valor de referência de G_{IIc} para o sistema de propagação RL.

	TVE	MCF	TVC	CFTV
Sistema de propagação RL $G_{IIc (REF)} = 0,63$ (N/mm)	G_{IIc} (N/mm)	G_{IIc} (N/mm)	G_{IIc} (N/mm)	G_{IIc} (N/mm)
	0,579	0,634	0,623	0,633
	Erro (%)	Erro (%)	Erro (%)	Erro (%)
	-8,10	0,63	-1,11	0,48
	Desv. Pad. ¹ (%)	Desv. Pad. (%)	Desv. Pad. ¹ (%)	Desv. Pad. (%)
	0,46	0,50	0,13	0,35

¹ O desvio padrão (Desv. Pad) é calculado relativamente ao valor médio de G_{IIc}

Foram construídos um modelo 3D e um modelo 2D de elementos finitos, incluindo elementos de interface e uma lei de dano progressivo baseada no uso indirecto da Mecânica da Fractura. A partir do modelo 3D, e recorrendo a uma adaptação do Método de Fecho Virtual de Fenda, concluiu-se que a geometria usada permite obter ao longo da frente da fenda uma distribuição uniforme e predominante (superior a 99,5%) de modo II. Por outro lado, as curvas $P-\delta$ fornecidas pelo modelo tridimensional e pelo modelo bidimensional são semelhantes. Estes resultados permitiram validar a utilização de um modelo 2D de elementos finitos para simular o ensaio ELS.

Para a determinação da taxa crítica de libertação de energia em modo II, a partir dos valores numéricos de $P-\delta-a$, utilizou-se a Teoria de Vigas Elementar (TVE), o Método de Calibração da Flexibilidade (MCF), a Teoria de Vigas Corrigida (TVC) e o Método de Calibração da Flexibilidade baseado na Teoria de Vigas (CFTV). Verificou-se que a TVE apresenta um erro não desprezável na obtenção de G_{IIc} , ao passo que os outros métodos apresentam

excelente concordância com o valor de G_{IIc} introduzido no modelo numérico. Contudo, a dificuldade experimental associada à medição do comprimento de fenda limita a aplicação do MCF e da TVC. Assim sendo, e com o intuito de contornar esta dificuldade experimental, apresentou-se neste trabalho uma nova metodologia de tratamento de resultados (CFTV). Os resultados obtidos, por este método, demonstraram a sua validade para a identificação de G_{IIc} da madeira dec *Pinus pinaster*.

AGRADECIMENTOS

Os autores agradecem à Fundação para a Ciência e Tecnologia, pelo suporte financeiro a este trabalho através do projecto POCTI/EME/45573/2002.

REFERÊNCIAS

- Anderson, T. L., "Fracture mechanics fundamentals and applications", CRC Press, Inc., 1991.
- Barrett, J. D., Foschi, R. O., "Mode II stress-intensity factors for cracked wood beams", Eng Fract Mech, 9, 1977, pp. 371-378.

- Blackman, B. R. K., Kinloch, A. J., Paraschi, M., "The determination of the mode II adhesive fracture resistance, G_{IIc} , of structural adhesive joints: an effective crack length approach", *Eng Fract Mech*, 72, 2005, pp.877-97.
- Carlsson, L. A., Gillespie, Jr., Pipes, R. B., "On the analysis and design of the end notched flexure specimen for mode II testing", *Journal of Composites Materials*, 20, 1986, pp.594-604.
- Corleto, C. R., Hogan, H.A., "Energy release rates for the ENF specimen using a beam on an elastic foundation", *Journal of Composite Materials*, 29(11), 1995, pp.1420-1436.
- Davies, P., Sims, G. D., Blackman, B. R. K., Bruner, A. J., Kageyama, K., Hojo, M., Tanaka, K., Murri, G., Rousseau, C., Gieseke, B., Martin, R. H., "Comparison of test configurations for determination of mode II interlaminar fracture toughness results from international collaborative test programme", *Plastics Rubber Compos*, 28(9), 1999, pp. 432-437.
- de Moura, M. F. S. F., Gonçalves, J. P. M., Marques, A. T., Castro, P. M. S. T., "Modeling compression failure after low velocity impact on laminated composites using interface elements", *Journal of Composite Materials*, 31, 1997, pp. 1462-1479.
- Edde, F. C., Verreman, Y., "Nominally constant strain energy release rate specimen for the study of mode II fracture and fatigue in adhesively bonded joints", *Int J Adhes Adhes*, 15, 1995, pp.29-32
- Gonçalves, J. P. M., de Moura, M. F. S. F., Castro, P. M. S. T., Marques, A. T., "Interface element including point-to-surface constraints for three-dimensional problems with damage propagation", *Engineering Computations: Int. J. Comp.-Aided Eng. Software*, 17, 2000, pp. 28-47.
- Qiao, P., Wang, J., Davalos, J. F., "Analysis of tapered ENF specimen and characterization of bonded interface fracture under mode II loading". *Int J Solids Struct*, 40, 2003, pp.1865-1884.
- Reiterer, A., Sinn, G., Stanzl-Tschegg, S. E., "Fracture characteristics of different wood species under mode I loading perpendicular to the grain", *Materials Science and Engineering*, A332, 2002, pp.29-36.
- Russell, A. J., Street, K. N., "Factors affecting the interlaminar fracture energy of graphite/epoxy laminates", In: *Progress in Science and Engineering of Composites*, T. Hayashi *et al.*, eds. In: *Proceedings of ICCM4*, Tokyo, 1982, pp. 279-286.
- Schuecker, C., Davidson, B. D., "Effect of friction on the perceived mode II delamination toughness from three and four point bend end notched flexure tests". In: *ASTM STP 1383*, 2000, pp. 334-344.
- Schuecker, C., Davidson, B. D., "Evaluation of accuracy of the four point bend end-notched flexure test for mode II delamination toughness determination", *Composites Science Technology*, 60, 2000, pp.2134-2146.
- Silva, M. A. L, de Moura, M. F. S. F., Morais, J. J. L., "Numerical analysis of the ENF test on the mode II fracture of wood", In: *Proceedings of the III conference of the ESWM*, Vila Real, 2004, pp. 77-84.
- Silva, M. A. L., de Moura, M. F. S. F., Morais, J. J. L., "Numerical analysis of the ENF test for mode II wood fracture", *Composites Part A: applied science and manufacturing*, *in press*, 2005.
- Tanaka, K., Kageyama, K., Hojo, M., "Prestandardization study on mode II interlaminar fracture toughness test for CFRP in Japan", *Composites*, 26(4), 1995, pp.243-55.
- Wang, H., Vu-Khanh, T., "Use of end-loaded-split (ELS) test to study stable fracture behaviour of composites under mode II loading", *Composite Structures*, 36, 1996, pp. 71-79.
- Wang, Y., Williams, J. G., "Corrections for Mode II fracture toughness specimens of composites materials", *Composites Science Technology*, 43, 1992, pp.251-256.
- Xavier, J. M., "Caracterização do comportamento ao corte da madeira usando o ensaio de Iosipescu", Master Thesis, Vila Real: Universidade de Trás-os-Montes e Alto Douro, 2003.
- Yoshihara, H., Ohta, M., "Measurement of mode II fracture toughness of wood by the end-notched flexure test", *Journal of Wood Science*, 46, 2000, pp. 273-278.
- Yoshiara, H., "Mode II *R*-curve of wood measured by 4-ENF test", *Eng Fract Mech*, 71, 2004, pp. 2065-2077.